

04;12  
©1993

# ИЗМЕРЕНИЕ БОЛЬШИХ СКОРОСТЕЙ ТЕЛ МАЛЫХ ГЕОМЕТРИЧЕСКИХ РАЗМЕРОВ

*Э.М.Дробышевский, Б.Г.Жуков, В.А.Сахаров*

Преодоление проблемы катастрофической эрозии электродов в электродинамических ускорителях твердых тел (рельсотронах) с малыми межэлектродными расстояниями (1–3 мм) позволило создать в ФТИ им. А.Ф.Иоффе компактное устройство, способное без поддона сообщать диэлектрическим телам размером  $\approx 1$  мм скорости в диапазоне 3–5 км/с. Такие тела (пеллеты) представляют значительный интерес для исследований по термоядерному синтезу [1], по антропогенному космическому мусору и т.п. Поэтому задача простой и надежной регистрации их скорости достаточно актуальна.

Измерение скорости тел путем их сверхскоростного фотографирования на фоне светящегося экрана широко применяется в экспериментах [2,3]. К достоинствам этого метода относится возможность одновременного получения информации также о состоянии быстролетящего тела. Однако методика работает, если выполняется условие  $\frac{l}{V} > t_e$ , где  $l$  — продольный размер тела,  $V$  — его скорость. Характерное время экспозиции одного кадра ( $t_e \sim 1$  мкс) для широко распространенных механических систем сверхскоростной фотoreгистрации (типа СФР) делает невозможным определение с их помощью скорости быстролетящих тел небольшого размера.

Для измерения скорости таких тел, помимо их теневого фотографирования с помощью лазеров с модулированной добротностью, была разработана простая система регистрации с помощью пленочных датчиков. Принцип их работы достаточно прост [4] и они давно применялись для измерения небольших ( $< 2$  км/с) скоростей больших тел ( $\gtrsim 1$  см). Датчик состоит из разнесенных на известное расстояние двух заряженных плоских конденсаторов, при закорачивании пластин которых пробивающим их телом возникают электрические импульсы. Временной сдвиг между ними позволяет вычислить скорость. Однако в нашем случае ввиду малых размеров тел и их большой скорости возникают дополнительные трудности, требующие своего разрешения. Дело в том, что соударение двух тел с отношением

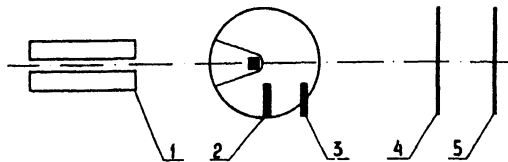


Рис. 1. Схема эксперимента. 1 — рельсовый ЕМ ускоритель, 2, 3 — реперы; 4, 5 — пленочные датчики. Отмечено поле зрения, соответствующее теневому фото рис. 2.

Расстояния: от среза ЕМ ускорителя до репера 2 — 165 мм, до датчика 4 — 242 мм, между датчиками — 52 мм.

масс  $\sim 10^{-2}$  на скорости  $\gtrsim 5$  км/с обычно вызывает разрушение большего тела [5]. Кроме того, само взаимодействие тела с пленкой неизбежно ведет к некоторой потере импульса тела, пропорциональной поверхностной плотности пленки. Компромиссным оказалось использование тонких ( $\sim 5$  мкм) лавсановых пленок с поверхностной металлизацией. Из таких пленок изготовлены, например, конденсаторы типа ОСК 77 на рабочее напряжение 63 В. В конструкции датчика две пленки за счет натяжения тесно соприкасаются друг с другом по всей поверхности. Металлизированные покрытия, разделенные слоем лавсана одной из пленок, выступают в качестве пластин конденсатора. Для предотвращения краевых пробоев одна из пленок сделана на 5–6 мм уже другой. Пробивное напряжение такой сборки составляет 250–260 В, рабочее напряжение бралось на 10–15 В ниже.

Система из двух таких датчиков была использована для измерения скорости при испытании электродинамического ускорителя малых тел (рис. 1). Одновременно проводилось теплеровское теневое фотографирование (рис. 2) движения тела в воздухе (пластмассовый кубик  $1 \times 1 \times 1$  мм массой  $m_t = 1.2$  мг). Осциллограммы сигналов с датчиков представлены на рис. 3. Верхний луч соответствует сигналу с первого датчика, нижний — со второго. Длительность переднего фронта импульсов  $\sim 10^{-8}$  с. При контакте с датчиками тело не разрушается, оставляя на их пленках отверстия с достаточно ровными краями с поперечным размером 1.2–1.5 мм. Чуговая структура импульсов обусловлена вторичными пробоями и "выгоранием" напыленного слоя металла вокруг отверстия при прохождении токового импульса от дополнительного конденсатора. Это выгорание приводит к восстановлению электрической прочности датчика и возможности его вторичного использования.

Можно считать, что при механическом пробое датчика телом некоторой массе  $\Delta m$ , соответствующей сечению про-

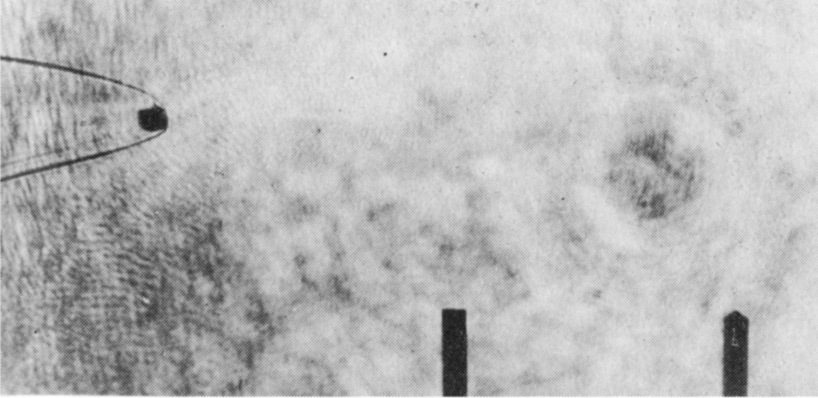


Рис. 2. Теневая фотография движения тела ( $V \approx 4$  км/с) в воздухе при атмосферном давлении. Реперы — проволоки диаметром 1.2 мм, расстояние между их осями — 13.5 мм. Источник света — рубиновый лазер с модулированной добротностью ( $\tau_i = 2 \cdot 10^{-8}$  с).

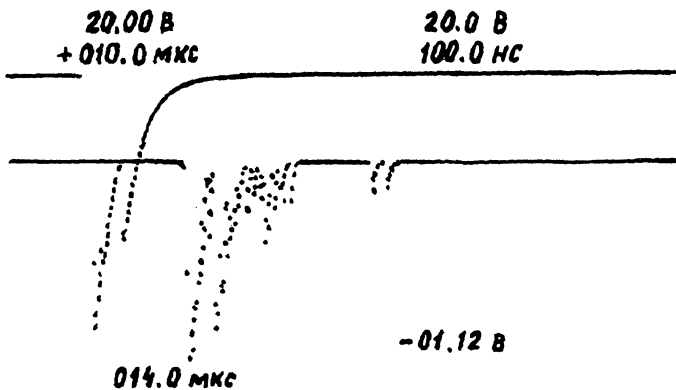


Рис. 3. Осциллограммы сигналов с датчиков. Длительность развертки 100 мкс.

битого в пленке отверстия, сообщается скорость  $V$ , равная скорости тела. Тогда для потери  $\Delta V$  скорости телом после прохождения двойного слоя пленки имеет место оценка  $\frac{\Delta V}{V} = \frac{\Delta m}{m_t}$ , где  $m_t$  — масса тела. В наших экспериментах  $m_t = 1-1.2$  мг, поверхностная плотность двойного слоя использованной нами пленки составляла  $8 \text{ г}/\text{м}^2$ . Поэтому уменьшение скорости после прохождения телом датчиков незначительно:  $\frac{\Delta V}{V} \lesssim 10^{-2}$ . В нашем случае гораздо большее падение скорости тела происходит за счет торможения

в воздухе во время полета от среза ускорителя до датчиков. При коэффициенте сопротивления воздуха  $C_x = 1.6$  [6] измеренной датчиками скорости 3.7 км/с соответствует скорость тела размером 1 мм на выходе из ускорителя 4.5–4.8 км/с.

### Список литературы

- [1] Komarek P. // Nucl. Fusion. 1990. V. 30. N 9. P. 1817–1862.
- [2] Дробышевский Э.М., Жуков Б.Г., Назаров Е.В. и др. Препринт ФТИ-1315. Л., 1989.
- [3] Кондратенко М.М., Лебедев Е.Ф., Осташев В.Е. и др. // ТВТ. 1988. Т. 26. № 1. С. 159–164.
- [4] Eichelberger R.J. // J. Appl. Phys. 1956. V. 27. N 1. P. 63–68.
- [5] Kessler J., Cour-Palais B.G. // J. Geophys. Res. 1978. V. 83. N 6. P. 2637–2646.
- [6] Баряусов Д.И., Дробышевский Э.М. // Письма в ЖТФ. 1991. Т. 17. В. 17. С. 43–46.

Физико-технический  
институт им. А.Ф. Иоффе РАН  
С.-Петербург

Поступило в Редакцию  
30 июля 1993 г.

---